

F.1970.- Dogger. (Unidad 1). Dolomias romboedricas masivas y calizas. Tebar.



F.1971.- Flanco occidental del anticlinal del Tebar. Al fondo las dolomías del Cenomaniense. (Unidad 4).



F.1972.- Núcleo anticlinal de Tebar. En primer término el Dogger (unidad 1) y Facies Weald (Unidad 2). Al fondo el flanco oriental anticlinal Cenomaniense y Utrillas. (Unidad 4 y 3).



F.1973.- Ermita Sta. Quiteria. Facies Utrillas y Cenomaniense. (Unidad 5 y 4). Tebar.



F.1974.- Dolomías de la Ciudad Encantada (Unidad 5). Rio Júcar en el límite meridional de la Hoja.



F.1975.- Vista general de la Plataforma de Tebar.



F.1976.- Facies de "point bar " en las proximidades del Picazo. Plioceno sup. (Unidad 10).



F.1977.- Ermita San Benito. Areniscas de canal meandriforme, cortando facies lutíticas de llanura de inundación. (Unidad 10).



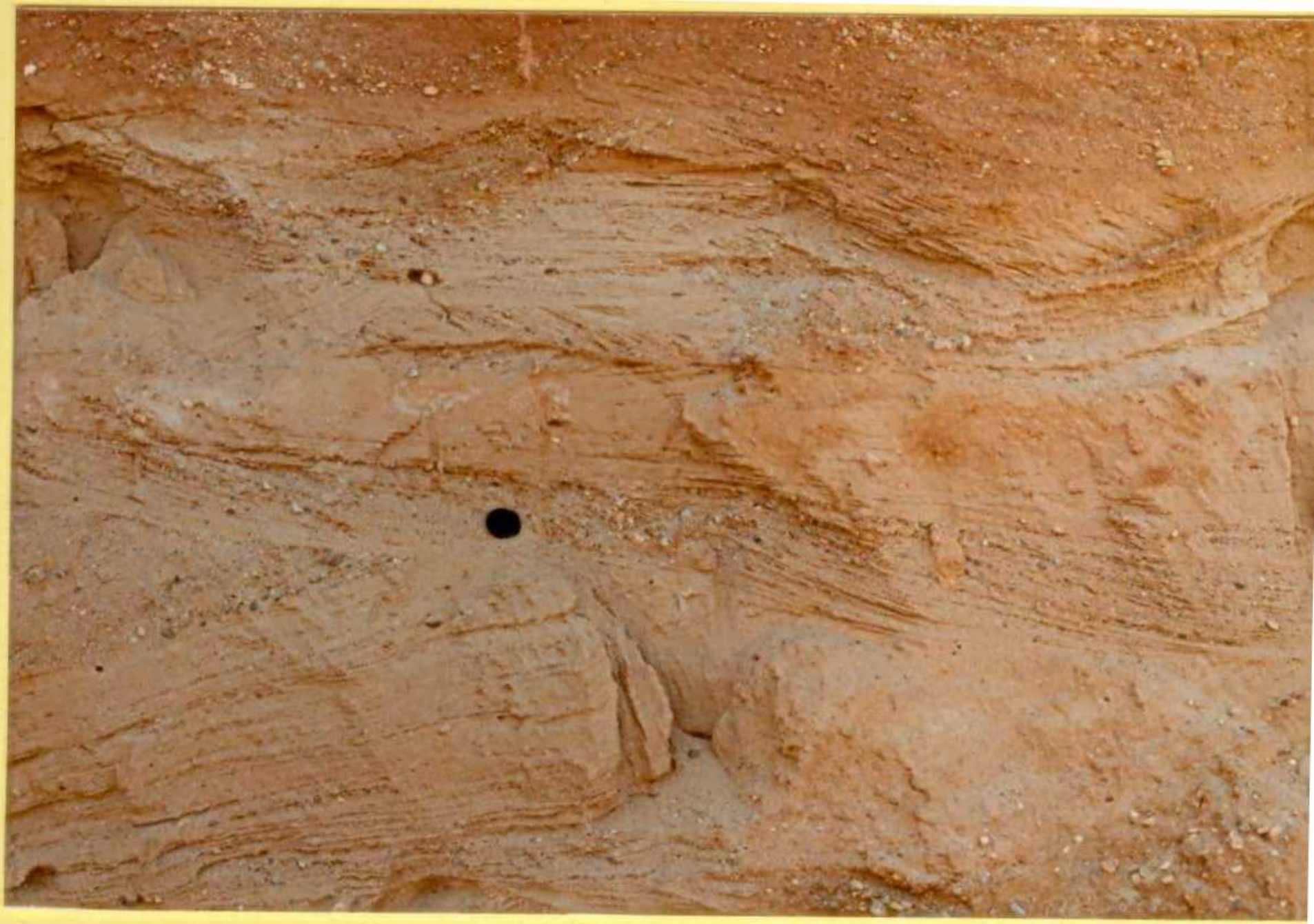
F.1978.- Unidad 10. Carretera Sisante-El Picazo.



F.1979.- Facies canalizadas cortando fangos edafizados de llanura de inundación. (Unidad 13).



F.1980.- Paleocanal sobre fangos edafizados de la Unidad 13. Cta. Quintananar del Rey. Villanueva de la Jara.



F.1981.- Arenas con estratificación cruzada a media escala. Unidad 15.



F.1982.- Gravas y arenas cortando facies de llanura de inundación. (Unidad 15).



F.1983.- Sistema aluvial del río Jucar. Unidad 20. Pleistoceno medio.



F.1984.- Aspecto general de las gravas y arenas de la unidad 15. Proximidades a Casasimarro.



F.1985.- Explotaciones de las gravas y arenas de la unidad 15. Villafranquiense Sup.



F.1986.- Unidad 15. Cantera Villanueva de la Jara. A techo suelo desarrollado sobre las gravas y arenas de la Unidad 16.



F.1987.- Unidad 15 con encostramiento carbonatado a techo y embolsamiento de las arcillas de la Unidad 16.



F.1988.- Villanueva de la Jara. Unidad 16. Yacimiento de Anancus arvenensis. Villafranquiense sup. NM 17.



F.1989.- Detalle de las gravas y arenas en la misma cantera. Unidad 16.



F.1990.- Molares incompletos de Anancus arvernensis



F.1991.- Otra perspectiva de la foto anterior.



F.1992.- Gravas de cuarcita caliza y dolomías. Sistema aluvial del río Júcar.



F.1992.- Molar de Mamuthus encontrado en las proximidades de la Fuensanta en la Unidad anterior.



F.1993.- Encostramiento laminar carbonatado finivillafranquiense sobre la Unidad 16.



F.1994.- Gravas y arenas canalizadas del Pleistoceno Inf. Unidad 16. Cta. de Casasimarro a Pozoseco.



F.1995.- Aspecto general de la Unidad 16. Plataforma de Casasimarro.